

унитета и аллергии, М., «Медгиз»,

ния, 1964, 3, 16.

стожимия, М., 1969.

Nervous System, 1966, 27, 6, 389.
ed., 1962, 109, 599.

Exp. Med., 1968, 119, 1027.
ogy, 1954, 54, 2, 130.

Надійшла до редакції
7.XII 1971р.

OF LYMPHOID TISSUE
UNDER INDUCTION
INHIBITORY TYPE
IC EFFECT

A. V. Antonenko

Institute of Endocrinology
s, Kiev

lished that changes in regional antigen in the Freind complete inhibitory type are pronounced in the adrenalectomized animals of the dynamics of the plasmacytocytes of ram in the regional induction and in spleen showed effect of corpuscular antigen and in the non-operated ones. Admine no adrenals a considerably man serum albumin in the total in the operated animals which n-operated guinea pigs.

УДК 612.014.42

ДО ПИТАННЯ ПРО ПОХОДЖЕННЯ ЗОВНІШНЬОГО ЕЛЕКТРИЧНОГО ПОЛЯ, ЩО РЕЄСТРУЄТЬСЯ ПОБЛИЗУ ТВАРИН І ЛЮДИНИ

У. С. Валеев, О. С. Осенний, Ю. В. Торнуев, Д. Ф. Ракитянский

Інститут фізіології Сибірського відділення АН СРСР, Новосибірськ

Останнім часом увагу дослідників привертають електромагнітні поля, що виникають у збудливих системах і поза цих систем. Відомості про наявність у повітрі електричних полів навколо збудженого ізольованого нерва вперше з'явилися у 1949 р. [5]. Пізніше були зареєстровані магнітне поле нерва [6], електричне [2] і магнітне поле серця [4]. Результати досліджень електричного поля поблизу людини і тварин [1] показали, що характеристики зареєстрованого електричного поля серця людини на відстані до 1 м не укладаються в рамки наших уявлень про диполь серця як генератор поля.

Метою нашого дослідження було дальнє вивчення характеристики електричного поля, що реєструється поблизу біологічних об'єктів та з'ясування його природи.

Методика дослідження

Методика реєстрації зовнішнього електричного поля біологічних об'єктів була розроблена, виходячи з припущення, що джерелом цього поля може бути гіпотетичний електричний диполь, який розташований в об'ємному провіднику та створює на поверхні різницю потенціалів, що дорівнює амплітуді зубця QRS електрокардіограмми.

Для того, щоб зареєструвати електричне поле біологічних об'єктів, необхідно мати достатньо чутливу (10^{-3} — 10^{-4} в) апаратуру. У наших експериментах як вимірювальний прилад був застосований електрометричний підсилювач УІ-2 з вхідним опором $R_{\text{вх}} = 10^{11}$ ом, що необхідно для узгодження імпедансу джерела поля і реєструючого приладу. Максимальна чутливість приладу в смузі 0,5 гц — 1 кгц дорівнює 10^{-3} в. В ряді випадків на вході індикаторного приладу включалися стандартні смугові фільтри.

Порівняно високий рівень зовнішніх завод, створюваних електричним полем землі, працюючими приладами і мережею живлення, вимагають ретельного екраниування об'єкту дослідження. Екраниуча камера мала форму, близьку до куба, з стороною, що дорівнює 3 м. Виготовлення камери з розмірами, які значно перевищують розміри об'єкта дослідження, вкрай важливи, оскільки лише в цьому випадку можна уникнути перекручень реєстрованого зовнішнього електричного поля, що виникають внаслідок асиметрії емкостей об'єкта дослідження відносно стінок екраниуючої камери. З цією ж метою об'єкти досліджень поміщали, приблизно, в центрі камери в горизонтальному положенні.

Три виносні електрометричні блоки трьох підсилювачів підвішували на спеціальних розтяжках до стелі екраниованої камери на різній відстані від серця досліджуваного об'єкта. У цьому випадку електричне поле можна було виміряти одночасно в трьох точках. Крім того, була передбачена можливість синхронно з реєстрацією поля також і запису ЕКГ. Всі вимірювальні прилади, крім виносних блоків підсилювачів і датчиків поля, поміщали поза камерою. Проводи для контактного відведення ЕКГ були екраниовані, а екрани заземлені.

Як датчики поля були використані металеві диски діаметром 25 мм, які надягали на вхідні штири електрометричних блоків. Диск оточували охоронним кільцем, яке з'єднувалось з корпусом виносного блока через опір. Постійна часу цього кільця дорівнювала постійній часу входу електрометра з датчиком поля. У цьому випадку робочою була та частина диска, яка повернена до об'єкта дослідження.

Одночасно з реєстрацією електричного поля був передбачений облік вологості оточуючого повітря.

Калібровка підсилювального тракту здійснювалась вміщеннем датчика поля між двома плоско-паралельними пластинами, на які подавався калібрувальний імпульс, за формою близький до спостережуваного польового сигналу.

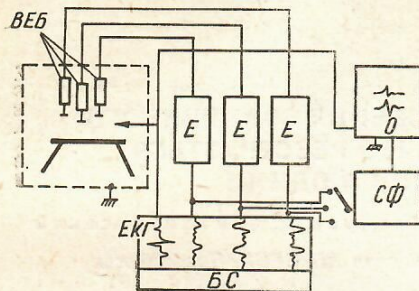


Рис. 1. Блок-схема вимірювальної установки.

ВЕБ — виносні електрометричні блоки, БС — багатоканальний самописець, О — осцилограф, СФ — смуговий фільтр, Е — електрометр.

Об'єктом дослідження були жаби, кішки і людина. Реєстрація електричного поля проводилась при заземленні об'єкта дослідження та при відсутності контактних зв'язків об'єкта дослідження з оточуючими провідниками і з землею. У другому випадку синхронного запису ЕКГ не проводили. Блок-схема вимірювальної установки наведена на рис. 1.

Результати досліджень

Встановлено, що електричне поле, яке реєструється навколо людини, змінюється синхронно з роботою серця і чітко виявляється над будь-якою точкою тіла. На рис. 2 наведено порівняльний запис польового сигналу і ЕКГ. Як видно, екстремум потенціалу електричного поля відповідає прояву кінцевого потенціалу ЕКГ зубця T .

Різниця потенціалів поля навіть на відстані 15 см від грудей людини значно перевищує контактно спостережувану амплітуду шлуночкового комплексу ЕКГ (рис. 2).

Слід відзначити, що конфігурація і амплітуда зовнішнього електричного поля, зареєстровані над різними точками тіла, неоднакові. На рис. 3 наведені графіки розподілу амплітуд електричного поля в поздовжньому і поперечному напрямках.

Переміщення грудної клітки досліджуваного при диханні вносило в запис істотні завади при вимірюваннях у смузі 0,5—1,5 кгц. На рис. 4 наведено синхронний запис сумарного потенціалу поля при смузі дослідження 0,5—1,5 кгц і сигналу в смузі 20 гц \pm 1,5 кгц та електрокардіограмми. Як видно, включення на вході реєструючого приставку фільтра ($f_n = 20$ гц) приводило до зменшення амплітуди і значного перекручення форми сигналу, хоч і наближало його за своїми характеристиками до ЕКГ. Тому згодом ми відмовились від застосування смугових фільтрів, і під час запису поля рекомендували обслідуваному затримувати дихання. Це обмежувало час безперервного запису поля 0,5—1 хв.

На рис. 5 наведений запис електричного поля в трьох точках на різній відстані від грудної клітки людини (15,36 і 60 см). Зниження потенціалу цього поля при збільшенні відстані від об'єкта дослідження близьке до лінійного. На рис. 6 наведено графік розподілу різниці потенціалів зовнішнього електричного поля зі збільшенням відстані від об'єкта дослідження (датчик поля розташований над областю серця).

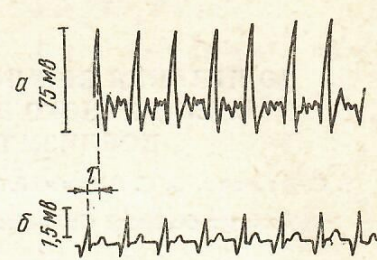


Рис. 2. Порівняльний запис польового сигналу (а) і ЕКГ (б).

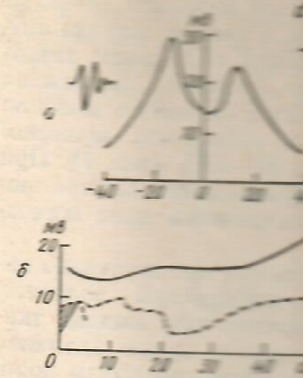


Рис. 3. Графіки розподілу амплітуд електричного поля по зонтах в поздовжньому (а) і поперечному (б) напрямках. На верхньому графіку зображені зонти над грудною кліткою, стрілка вказує на зонти.

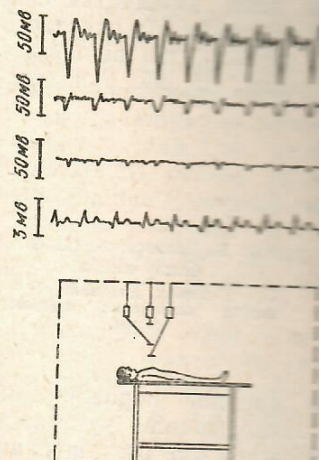


Рис. 4. Синхронний запис сумарного потенціалу поля при смузі дослідження 0,5—1,5 кгц і сигналу в смузі 20 гц \pm 1,5 кгц та електрокардіограмми.

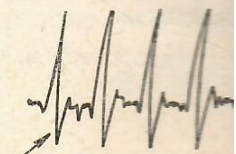
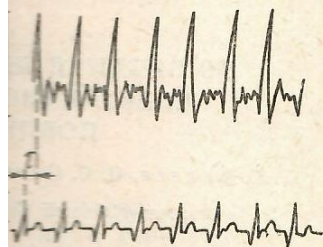


Рис. 5. Запис електричного поля в трьох точках на різній відстані від грудної клітки людини.



Рис. 6. Графік розподілу різниці потенціалів зовнішнього електричного поля зі збільшенням відстані від об'єкта дослідження.

в передбачений облік вологості
сь вміщенням датчика поля між
ався калібрувальний імпульс, за
алу.



2. Порівняльний запис польово-
го сигналу (а) і ЕКГ (б).

Реєстрація електричного поля
відсутності контактних зв'язків
між. У другому випадку син-
тимальної установки наведена

нь

еструється навколо людини чітко виявляється над
орізняльний запис польово-
нціалу електричного поля
губця Г.

ні 15 см від грудей людини амплітуду шлуночко-

штуда зовнішнього елек-
точками тіла, неоднакові.
уди електричного поля в

ого при диханні вносило
зі 0,5—1,5 кгц. На рис. 4
налу поля при смузі до-
 $\pm 1,5$ кгц та електрокар-
рючого приладу фільтра-
уди і значного перекру-
ї своїми характеристика-
д застосування смугових
обслідуваному затриму-
го запису поля 0,5—1 хв.
поля в трьох точках на
5,36 і 60 см). Зниження
від об'єкта дослідження
їк розподілу різниці по-
більшенням відстані від
їй над областю серця).

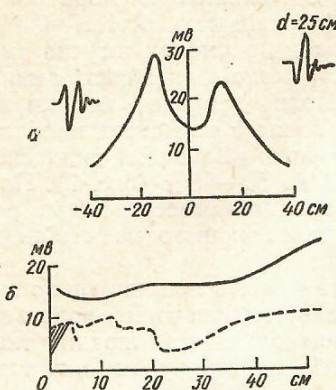


Рис. 3. Графіки розподілу амплі-
туди електричного поля по гори-
зонталі в поздовжньому (а) і по-
перечному (б) напрямках.
На верхньому графіку зліва — лівий
бік грудної клітки, справа — правий
бік.

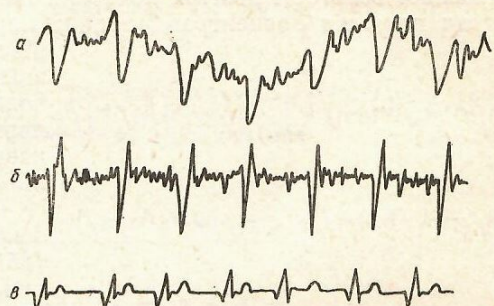


Рис. 4. Синхронний запис сумарного по-
тенціалу поля при смузі дослідження
0,5—1,5 кгц (а) і сигналу в смузі
20 гц $\pm 1,5$ кгц (б) та електрокардіо-
грами (в).

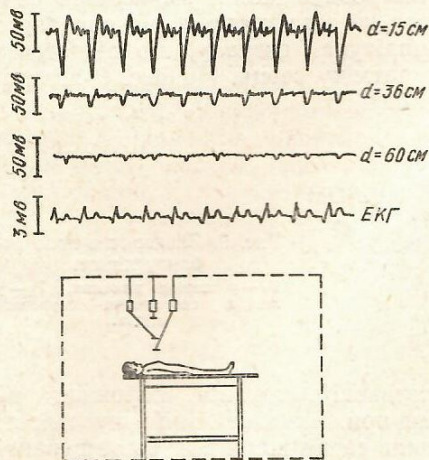


Рис. 5. Запис електричного поля в трьох
точках на різній відстані від грудної кліт-
ки людини.

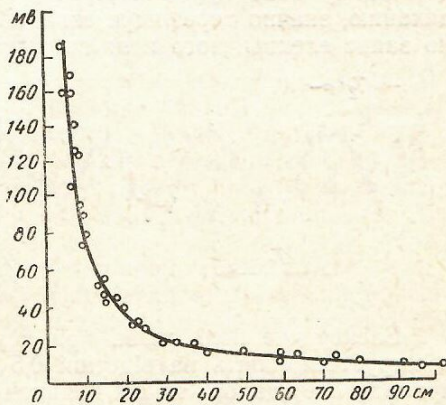


Рис. 6. Графік розподілу різниці по-
тенціалів зовнішнього електричного по-
ля зі збільшенням відстані від об'єкта
дослідження.

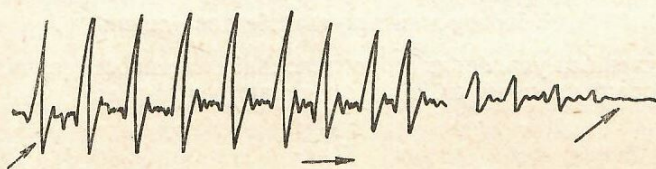


Рис. 7. Зміни електричного поля від вологості повітря.
Стрілками позначено: зліва — вологість 25%, в центрі — збільшення
вологості, справа — вологість 85%.

Останні експериментальні результати одержані в усі пори року, при кімнатній температурі ($20-25^{\circ}\text{C}$) та відносній вологості $17-35\%$.

Досліди по вимірюванню електричного поля в умовах штучно змінюваної вологості повітря показали наявність різкої залежності амплітуди поля від концентрації водних парів. Поле навколо людини на відстані понад 5 см майже повністю зникало при збільшенні відносної вологості до $50-85\%$ (рис. 7). При нормалізації вологості повітря показники електричного поля відновлюються.

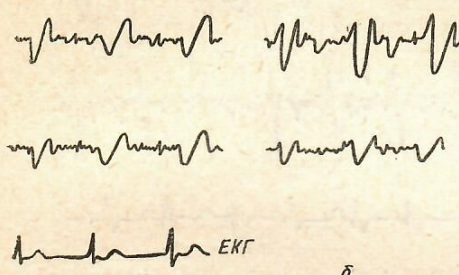


Рис. 8. Запис сигналів, зареєстрованих з двох відстаней від тіла обслідуваного: *a* — об'єкт заземлено, *b* — об'єкт не заземлено.

Вимірювання електричного поля з шерстним покривом (кішка) показало, що зареєстроване поле змінюється синхронно з диханням і ритмікою серця та не відрізняється від описаного потенціалу поля людини. Проте, амплітуда сигналу, що відповідає диханню, значно перевищує складову ритміку серця. На рис. 9 наведено запис електричного поля поблизу кішки.



Рис. 9. Електричне поле поблизу кішки.
 T_1 — у період дихання, T_2 — у період скорочення серцевого м'яза.

Електричне поле жаби при нерозтиненій грудній порожнині не реєструється навіть на відстані $0,5\text{ см}$ при максимальній чутливості приладу. Не вдалося також виявити поле серця жаби при розташуванні датчика поля в безпосередній близькості від розтиненої грудної порожнини.

Цікаво, що польовий сигнал поблизу працюючого серця жаби реєструвався тільки тоді, коли серце вилучено із розтиненої грудної порожнини (рис. 10).

Обговорення результатів досліджень

За сучасними уявленнями про дипольні властивості серця, потенціали, створювані на поверхні тіла, визначаються виразом

$$V \approx \frac{l \cdot \cos \alpha}{r^2},$$

де l — дипольний момент, r — відстань від точки спостереження до дипольного центра, α — кут, що визначає положення тіла спостереження щодо дипольної осі.

Do питання про походження зо

Оскільки максимальна тіла не перевищує звичайні електричного поля в повіт величину порядку I має по збільшенню відстані в

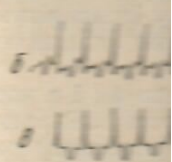


Рис. 10. Електрокаріограма зі звичайним стандартним відхиленням та спостереженням відхиленням обслідуваного.

Характеристики спостереження природно, не можна пояснити у провідній середовищі.

Повільне убування відхиленнях показники цього відхилення що спостережувані поля є на межі організму із зовнішніми розмірами тіла, називають Незалежність прояву цього відхилення людини і тварини спільні тіла та утворення, в яких Поля такого диполя на відстані приблизно по квадратичному закону.

Працююче серце — це мушує тіло людини або тварину в просторі зарядженою поля, яке ми й реєструємо.

Амплітуда цього поля щільно пов'язана з максимумом польового сигналу.

При збільшувані відстані статичного заряду з поверхні тіла людини підтверджується вимірюванням підвищеної вологості (55-60%).

Умови утворення статичного заряду з поверхні тіла людини. Цим пояснюються види тварин та залежність цього відхилення від вологості тіла.

У жаб можливості відхилення від вологим слизовим покривом залежать від вологості тіла. Цим пояснюються види тварин та залежність цього відхилення від вологості тіла.

одержані в усі пори року, зносній вологості 17—35%. Толя в умовах штучно змін різкої залежності амплітуди навколо людини на тонад 5 см майже повністю при збільшенні відносної до 50—85% (рис. 7). При цій вологості повітря по електричного поля віднов-

е, навіть при порівняно високій лабораторії вологості, відридання тіла людини ткаю просто рукою викликає збільшення амплітуди поля. Випадку величина потенціалу практично не залежала від або відсутності заземлення, змінювалась лише спостережуваного сигналу.

Однак тварини з шерстним полем змінюються синдромом, що відрізняється від описаного сигналу, що відповідає серцю. На рис. 9 наведе-

Рис. 9. Електричне поле поблизу кішки.
 T_1 — у період дихання, T_2 — у період скорочення серцевого м'яза.

грудній порожнині не максимальній чутливості жаби при розташуванні розтиненої грудної по-рючого серця жаби реєструється з розтиненої грудної

Піджень

ствості серця, потенціалами виразом

очки спостереження до-кення тіла спостережен-

Оскільки максимальна амплітуда великого зубця ЕКГ на поверхні тіла не перевищує звичайно 2 мВ, гадані показники різниці потенціалів електричного поля в повітрі від того самого джерела повинні мати величину порядку 1 мВ поблизу поверхні тіла, а убування цього поля зі збільшенням відстані в повітрі має підлягати кубічному закону.

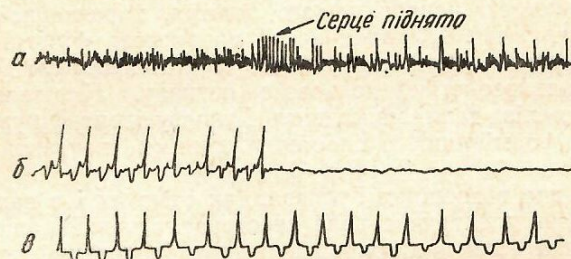


Рис. 10. Електрограма синхронного запису при прямому відведенні ЕКГ з шлуночка серця (α), ЕКГ у першому стандартному відведенні (β) та польового сигналу, зареєстрованого на відстані 1,5 см від серця (γ).

Характеристики спостережуваного поля навколо людини і тварин, природно, не можна пояснити полем електричного диполя серця, вміщеного у провідне середовище.

Повільне убування поля зі збільшенням відстані і значно вищі гаданих показників цього поля можна пояснити, якщо виходити з того, що спостережувані поля є полями джерела, яке знаходиться, очевидно, на межі організму із зовнішнім середовищем, та має розміри, що дорівнюють розмірам тіла, навколо якого вимірюється електричне поле [1]. Незалежність прояву цього поля від наявності або відсутності заземлення людини і тварини свідчить про розподіл зарядів у межах поверхні тіла та утворення, в найпростішому випадку, електричного диполя. Поле такого диполя на відстані менше його розміру, як відомо, убуває приблизно по квадратичному закону, а різниця потенціалів — по лінійному.

Працююче серце — це свого роду механічний вібратор, який примушує тіло людини або тварини здійснювати коливні рухи. Переміщення в просторі зарядженого тіла створює в повітрі змінюване електричне поле, яке ми й реєструємо.

Амплітуда цього поля залежить від величини механічних переміщень поверхні тіла людини або тварин. У такому випадку, очевидно, максимум польового сигналу має відповідати стану систоли шлуночків.

При збільшуваній вологості оточуючого повітря умови стикання статичного заряду з поверхні тіла стають більш сприятливими, що підтверджується змірюваннями поля на відстані 5 см і більше при підвищенні вологості (55—58%).

Умови утворення статичного заряду на поверхні тварин з розвинутим волосяним покривом, природно, більш сприятливі, ніж для людини. Цим пояснюється високий рівень змірюваного поля поблизу тварин та залежність цього поля від наявності волосяного покриву.

У жаб можливості виникнення зарядів нема, оскільки їх поверхня вкрита вологим слизовим шаром, що підтверджується в представлений експериментальному матеріалі. Гадане електричне поле, створюване власне електричним диполем серця, в усіх дослідженіх нами випадках, очевидно, настільки мале, що не виявляється на фоні поля, яке виникає в результаті електризації біологічного об'єкта.

Як уже було відзначено вище, застосування смугових фільтрів пеперекручує істотний польовий сигнал, зменшуючи його амплітуду і робить його зовні схожим на ЕКГ. Проведення експерименту при підвищенні вологості також сприяє реєстрації поля, амплітуда якого значно ослаблена.

Реєстрація Гуляевим [2] електроаурограми була здійснена в умовах підвищеної вологості навколошнього повітря, характерної для Ленінграда. У реєструючих приладах автор використав фільтри з нижньою граничною частотою 10 гц, що вносило істотні перекручення в просторово-часові характеристики польового сигналу. Порівняно невисокі рівні цих сигналів дали можливість Гуляеву ідентифікувати електроаурограму по формі лише з спостережуваними контактно компонентами ЕКГ [2].

Той факт, що в дослідах Гуляєва, так само як і в наших експериментах, зовнішнє електричне поле реєструвалось найкраще при розташуванні датчика поля над головою людини (волосяний покрив), деякі результати останніх дослідів Гуляєва [3] вказують на значну участь електростатичних зарядів на поверхні тіла у формуванні електроаурограми. Останнє додатково підтверджує запропоновану нами гіпотезу [1] про походження зовнішнього електричного поля поблизу тварин і людини.

Висновки

- Поблизу людини і тварин існує електричне поле, яке залежить від скорочення серцевих м'язів і дихання.
- У наших дослідах зареестроване електричне поле біологічних об'єктів на відстані до 100 см.
- Зареєстровані поля є наслідком механічних проявів життєдіяльності людини і тварин і, очевидно, не пов'язані з електричними процесами, що здійснюються в організмі.

Література

- Валеев У. С., Торнуев Ю. В., Ракитянский Д. Ф.—В сб.: Матер. II совещ. по примен. радиоэлектроники, физики, математики и биол. и мед., Новосибирск, 1968.
- Гуляев П. И., Заботин В. И.—В сб.: Докл. Ленингр. об-ва естествоиспытателей, Л., 1967.
- Гуляев П. И., Заботин В. И., Шлиппенбах Н. Я.—В сб.: Нервная система, Л., 1970, 10.
- Baule G., McFree R.—Amer. Heart J., 1963, 66, 95.
- Burg H., Mauro A.—Yale J. Biol. Med., 1949, 455, 21.
- Seipel I., Moggow R.—J. Wash. Acad. Sci., 1960, 50, 6, 1.

Надійшла до редакції
25.X 1971 р.

ON THE PROBLEM OF NATURE OF EXTERNAL ELECTRIC FIELD REGISTERED NEAR ANIMAL AND HUMAN BODY

U. S. Valeev, A. S. Osennyy, U. V. Tornuev, D. F. Rakityansky

Institute of Physiology, the Siberian Branch, Academy of Sciences, USSR. Novosibirsk

Summary

Human and animal body's electric field were discovered to change in accordance with cardiac and respiration activity. The field arises from electrification of skin integument of body. Potential difference was observed to be rather high in contact electrocardiogram within 25—30 per cent of air humidity.

Heart dipole electric field was not detected by used instruments with 10^{-4} — 10^{-3} volt range of sensitivity.

ДО МЕХАНІЗМУ
НА ЗСІДАЛЬНИ
КРОВІ СО

Кафедра патологічної

Нами раніше було показано, що високорівневе фібринолітичне активізоване застосування аскорбінової кислоти гіперкоагуляції крові собак стимулює зсідання і прискорює посилення зсідання крові та зниження проникності у фактор [3].

Ми вивчали причини посилення зсідання і механізм спричиняючих питань ми досліджували спричиняючими

Досліди проведено на 28 собаках «підйому» собак у барометрії. Сумарну судинну проникність внутрішньо введеного міченого стосування даного методу поступово введені мічені білки залишається зменшення концентрації встановлення динамічної рівноваги кількість цього переходу залежить від білка. Друга фаза зменшення проникності. Тому при вивченні проникності фаза зниження концентрації міченого білка русла в тканинній рідині.

Кров для дослідження розглянуто введеною міченого альбуміну активність п'ятихвилинної проби

У першій серії дослідів вивчено судин (вісім собак). У другій—тіденної застосуванні в дозі 100 мг у шести собак, яким дали гострій гіпоксії. Контролем слугували восьми здорових собак. Розглянуто внутрішньо введеного міченого до контролю, що свідчить про зниження проникності. Для з'ясування впливу гострого гіпоксії на водночас із вивченням сумарної проникності перфузованих органів і тканин і легень. Для одержання по застосованого міченого білка було використано міченого білка (K).

$$K = \frac{\text{кількість імпульсів}}{\text{кількість імпульсів}}$$

Одержані результати представляють вивчення розподілу в тканинах при гострій гіпоксії показали, що зниження коефіцієнтів ($p < 0,05$); проникність гемато-енцефалічного бар'єру збільшилася